

基礎地盤コンサルタント〇正員 丹下良樹
 岐阜大学工学部 正員 岡三生
 岐阜大学工学部 正員 守野尚雄

1. まえがき

昨年、弾粘塑性構成式を用いた、一次元圧密解析を報告したが、今回は、三次元の弾粘塑性構成式を用い、飽和粘土地盤に、盛土荷重が作用した場合の地盤の挙動を2次元平面ひずみ問題として解析した結果を報告する。解析に用いた構成式は、すでに筆者の1人が提案しているPergyna型の弾粘塑性構成式である。有限要素法による圧密解析法としては、Christian³⁾らの方法と同様に赤井・田村の方法を用いており、非線形解析法としては、柴田・間口⁵⁾と同様、増分法を使用した。

2. 構成式

ここで用いた粘土の構成式は、等方的に正規圧密された粘土に対して導かれたものに、間口⁵⁾によって導入された相対応力比 $\bar{\epsilon}^*$ を適用しており、異方圧密された粘土に対しても適用可能なものである。ただし、
 $\eta_{ij}^* = S_{ij}/\sigma_m'$, $\bar{\epsilon}^* = \sqrt{(\eta_{ij}^* - \eta_{ij}(0)) \times (\eta_{ij}^* - \eta_{ij}(0))}$, S_{ij} : 偏差応カデンソル, σ_m' : 平均有効応力, η_{ij}^* は η_{ij} の初期値
 この場合、静的降伏関数 ϕ_s は次式で表わされる。
 $\phi_s = \bar{\epsilon}^*/M^* + \ln \sigma_m'^{(s)} = \ln \sigma_m'^{(c)}$ (1)
 構成式を書き表わすと次のようになる。 $\sigma_m'^{(s)}$ は硬化パラメータである。

$$\dot{\epsilon}_{ij} = \frac{1}{2G} \dot{s}_{ij} + \frac{\kappa \dot{\sigma}_m'}{(1+e) \sigma_m'^3} \delta_{ij} + \phi(F) \left[\frac{1}{M^* \sigma_m'^2} (\eta_{ij}^* - \eta_{ij}(0)) + \frac{1}{3\sigma_m'} \delta_{ij} - \frac{s_{kl} (\eta_{kl}^* - \eta_{kl}(0))}{3M^* \bar{\epsilon}^* \sigma_m'^2} \delta_{ij} \right] \quad (2)$$

$$\phi(F) = M^* \sigma_m' C_2 \exp \{ m' \ln(\sigma_m'/\sigma_{me}') + m' \bar{\epsilon}^* / M^* - m' (1+e) v_p^p / (\lambda - \kappa) \} \quad (F > 0), \quad \phi(F) = 0 \quad (F \leq 0) \quad (3)$$

$F = (f - \kappa_s)/\kappa_s$ (4), (f : 動的降伏関数), κ_s : 硬化パラメータ, σ_{me}' : 初期圧密圧力
 κ : $e \sim \ln \sigma_m'$ 線の膨潤時の傾き, λ : $e \sim \ln \sigma_m'$ 線の圧密時の傾き, G : セン断弾性係数, e : 間げき比, M^* : Critical Stateでの $\sqrt{J_2}/\sigma_m'$ の値, J_2 ; S_{ij} の2次不変量, C_2 , m' : 粘塑性パラメータで、 $m' = \frac{\lambda - \kappa}{(1+e)\lambda}$,
 $C_2 = \dot{\sigma}_p^{pp}/M^*$ (α : 2次圧縮速度 $\dot{\sigma}_p^{pp}$; 初期粘塑性体積ひずみ速度) の関係がある。

3. 解析方法および計算結果

解析にあたっては、地盤は初期異方的な正規圧密状態にあるとして、自重の影響はないものとしている。水の運動についてはDarcy則に従うものとし、透水係数は次式に従うとした。 $k = k_0 \exp \{ -(e_0 - e)/C_k \}$ (5)

(2)式の κ は $\sqrt{J_2}$ に比例するとしている。計算の要素は三角形エレメント2つで四角形要素を構成した。二次元圧密を行う前に、弾性一次元圧密によって精度を確かめている。図-1に計算用いたパラメータが示されている。解析は、図-1に示される長方形領域に敷幅5m、最大荷重5t/m²の盛土が、盛立て期間100日で行われる場合について示された。排水は上面のみである。図-2は図-1のP点における沈下量 s と時間の関係を示している。図-3は各節点における600日後の変位を示すものである。荷重載荷直近で沈下が著しく、深くなるにつれ、側方変位が又負方向から正方向へと変化していることがわかる。図-4は、盛土法尻部直下Y-Y断面の側方変位量と時間とともにプロットしたものである。深さ5m付近で最大の側方変位が発生している。図-5は、要素1および13の応力経路を示している。盛土終了時まで $\sqrt{J_2}$ 、平均有効応力

κ	0.05
λ	0.231
M^*	0.865
C_k	0.1
e_0	1.50
G	20×10^4 (Kgf/m ²)
$\sigma_{22}(0)$	10^4 (Kgf/m ²)
K_0	0.5
Δt	8 hours
C_2	10^{-12} (1/sec)
m'	25.0
k_0	1.16×10^{-8} (m/sec)

Table 1

ともに増加する傾向にあるが、盛土終了後は、左盤により、 σ'_m の増加率は減少し、安定応力状態へ漸行してゆくことがわかる。

4.あとがき

2次左盤を示す粘性土においては、時間依存性を表現しうる構成式による解析が必要である。今後実際問題への適用を目指すつもりである。

- 5.参考文献 1)岡・村田(1980), 第35回土木学会年講, III-54, P.107 2)T. OKA (1981), Proc. of ICSMFE (1982), Session 1 3) Christian, J.T. & J.W. Boehmer, Proc. of ASCE, Vol. 98, No. SM 4, pp. 1425~1457 4)赤井・田村(1978), 土木学会論文報告集, 269号, pp. 95~104. 5)柴田闘口(1980), 土木学会論文報告集, 301号, pp. 93~104. 6)Sekiguchi, H. & H. Ohta (1977), Proc. of IC SMFE, Specialty Session 9, pp. 229 - 237.

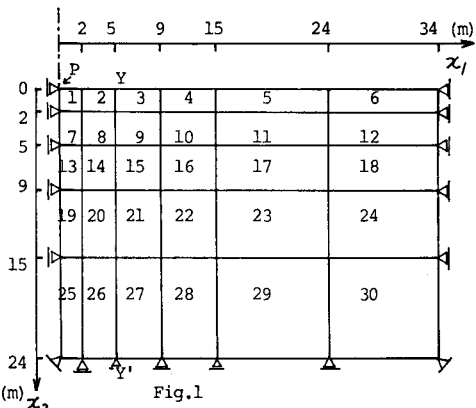


Fig.1

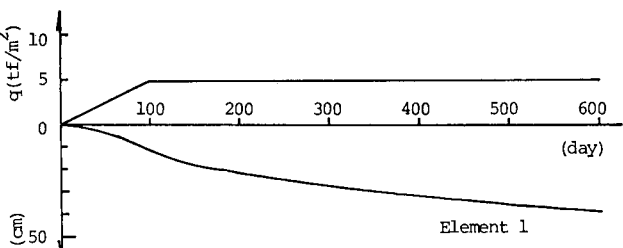


Fig.2

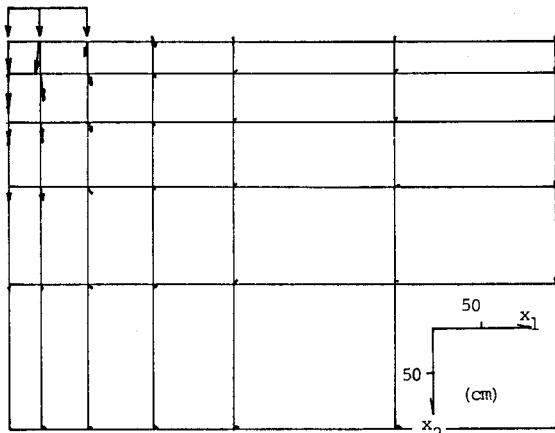


Fig.3

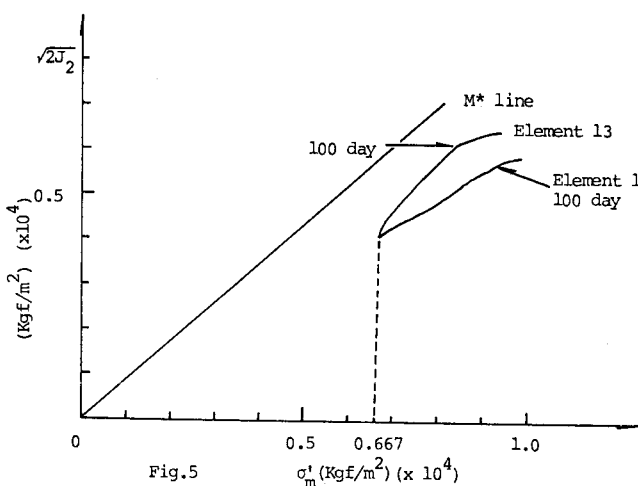


Fig.5

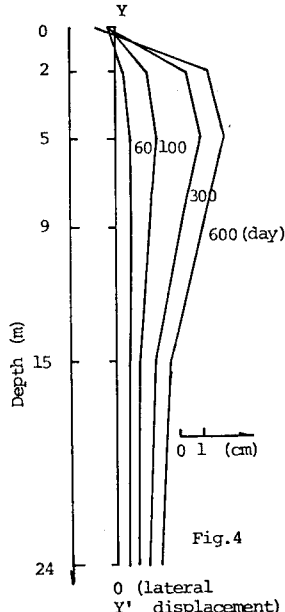


Fig.4